

Обнаружитель объектов на изображении при действии нестационарного фона

В. Ю. Волков, Р. Р. Булякулов, О. А. Маркелов, М. И. Богачев
Санкт-Петербургский государственный электротехнический университет
«ЛЭТИ» им. В.И. Ульянова (Ленина)
e-mail: vladimi-volkov@yandex.ru

Аннотация. Рассматривается задача обнаружения объектов на изображениях, формируемых радиотехническими системами наблюдения. Исследуется применение обнаружителя с движущимися окнами для формирования сигнальной и помеховой статистик. Для принятия решения применяется адаптивный порог, использующий помеховую статистику. Рассчитаны характеристики обнаружения такого обнаружителя при экспоненциальной статистике сигнала и фона.

Ключевые слова: обнаружение объектов; характеристики обнаружения; анализ изображений; адаптивный порог; нестационарный фон

I. ВВЕДЕНИЕ

Задача обнаружения и локализации малоразмерных объектов на зашумленных изображениях возникает в радиотехнических системах наблюдения, использующих радары с САР, инфракрасные и лазерные системы, а также телевизионные камеры [1-3]. Эта задача является актуальной, поскольку указанные объекты обычно имеют искусственное происхождение и представляют первостепенный интерес.

При обнаружении и локализации таких объектов возникают существенные трудности построения эффективных алгоритмов, поскольку в принимаемых изображениях имеется интенсивный и нестационарный фон. Статистика фона весьма отличается от гауссовской, распределения явно асимметричны, при исследовании полагалось, что как фоновые, так и сигнальные выборки имеют экспоненциальное распределение, а форма и размеры обнаруживаемых объектов известны. В некотором смысле экспоненциальное распределение представляет достаточно неблагоприятную ситуацию по сравнению с другими модельными распределениями сигнала и фона.

Широкий класс обнаружителей решает задачу обнаружения объектов на изображениях путем организации движущихся сигнального и помехового окон, вычисления двух решающих статистик в этих окнах, и формирования локального адаптивного порога по помеховой статистике для сравнения с сигнальной статистикой, и принятия решения. Несмотря на широкое

применение таких алгоритмов, установка пороговых констант и расчет характеристик обнаружения представляет известные трудности. В случае экспоненциальных распределений эта задача решена для обнаружения точечного объекта, когда сигнальная статистика представляет единственное выборочное значение на изображении [1].

Представляет практический интерес случай накопления выборок в сигнальном окне. При этом сигнальное окно обычно согласовано с формой и размерами объекта интереса. Точные расчеты характеристик обнаружения провести не удалось.

Целью статьи является приближенный расчет характеристик обнаружения, основанный на методе «подвешенной» (titled) переменной, который позволяет установить пороговую константу в алгоритме обнаружения, а также рассчитать потери в пороговом отношении сигнал/шум по сравнению с постоянным порогом обнаружения при стационарном фоне.

II. ПОСТАНОВКА ЗАДАЧИ И АЛГОРИТМ ОБНАРУЖЕНИЯ ОБЪЕКТОВ НА ИЗОБРАЖЕНИЯХ

Существует достаточное число известных алгоритмов обнаружения объектов на нестационарном фоне [1,2]. Класс обнаружителей с адаптивным порогом включает структуры, которые используют окна (маски), движущиеся по изображению, причем сигнальное окно обычно располагается в центре движущегося окна, а помеховое окно окаймляет сигнальное. Сигнальное окно выбирается в соответствии с размерами и формой объектов интереса на изображении.

На рис. 1 представлены примеры неориентированных и ориентированных масок, используемых для обнаружения объектов. Значения коэффициентов a и b обычно постоянны в пределах соответствующих окон, и связаны с числом выборок в окне. Их значения в конечном итоге входят в пороговые константы алгоритма. Неориентированные маски обычно имеют квадратные формы окон (рис. 1а). Разновидностью ориентированных масок является незамкнутое помеховое окно, что позволяет эффективно выделять конечные точки объектов в форме отрезков неизвестной длины (рис. 1б).

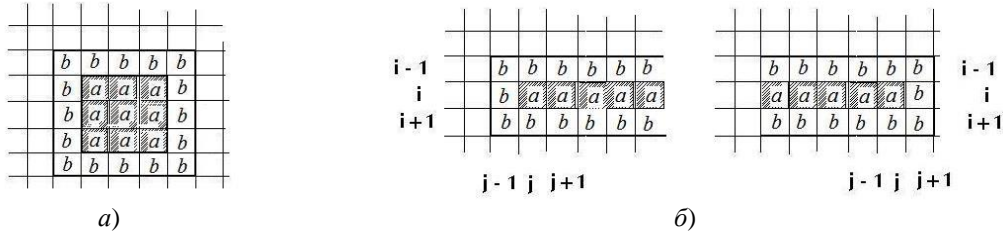


Рис. 1. Пространственно-ориентированные и неориентированные маски для движущихся окон

Пусть $y = (y_1, y_2, \dots, y_N)$ и $x = (x_1, x_2, \dots, x_M)$ – соответственно сигнальная и помеховая независимые выборки, получаемые в пределах сигнального и помехового окон. Рассмотрим экспоненциальную модель распределений: $f_0(y_k) = (1/\beta_0) \exp(-y/\beta_0)$ для каждой помеховой выборки, $f_1(y_k) = (1/\beta_1) \exp(-y/\beta_1)$ – для каждой сигнальной выборки. Отношение сигнал/шум на входе определяется как относительное увеличение параметра масштаба всех выборок в сигнальном окне: $d = (\beta_1 - \beta_0) / \beta_0$.

Алгоритм обнаружения с адаптивным порогом имеет вид $u(y) \geq c_1 \cdot v(x)$, где $u(y)$ и $v(x)$ – сигнальная и помеховая статистики соответственно, c_1 – пороговая константа, значение которой устанавливается так, чтобы обеспечить заданную вероятность ложной тревоги в соответствии с критерием Неймана–Пирсона. Другая форма этого алгоритма $u(y) - c_1 \cdot v(x) \geq 0$ предусматривает сравнение с нулевым порогом статистики $z(u, v) = u(y) - c_1 \cdot v(x)$. В некоторых случаях вместо нулевого вводится небольшой положительный порог z_T в целях закругления алгоритма и повышения устойчивости (робастности) к мешающим факторам.

Значения N и M , задающие числа сигнальных и помеховых выборок, определяются выбранной формой и размерами маски движущегося окна. Имеют место следующие типовые сочетания квадратных сигнальных и помеховых окон в пикселах: (1x1)-(3x3); (3x3)-(5x5); (5x5)-(7x7), где в первой скобке указан размер сигнального окна, а во второй – размер помехового. Помеховое окно окаймляет сигнальное, поэтому число помеховых выборок оказывается равным соответственно $M = 8; 16; 24$. Увеличение размера помехового окна позволяет улучшить статистические свойства помеховой статистики. Однако это нецелесообразно вследствие снижения разрешающей способности при появлении близких объектов.

Наиболее применяемый алгоритм обнаружения производит суммирование выборок в пределах сигнального и помехового окон.

Задачей является установка пороговой константы c_1 для алгоритма $u(y) - c_1 \cdot v(x) \geq z_T$ и исследование его характеристик обнаружения в сравнении с алгоритмом, работающим в условиях известных параметров распределений.

III. АНАЛИЗ ХАРАКТЕРИСТИК ОБНАРУЖЕНИЯ ДЛЯ ПОСТОЯННОГО ПОРОГА

Для экспоненциальных распределений сигнальная статистика $u(y) = \sum_{k=1}^N y_k / N$ является достаточной.

Алгоритм сравнения с постоянным порогом $u(y) \geq c$ является оптимальным в случае известного параметра β_0 , где пороговая константа c вычисляется для заданной вероятности ложной тревоги. Статистика $u_0 = u(y)N / \beta_0$ при отсутствии сигнала имеет центральное распределение χ_N^2 с N степенями свободы, которое совпадает с гамма-распределением $G(\alpha = N, 1)$. При появлении сигнала такое же распределение $G(N, 1)$ имеет статистика $u_1 = u(y)N / \beta_1 = u_0 / (1 + d)$. Таким образом, имеет место увеличение параметра масштаба статистики u_0 в $(1 + d)$ раз.

Характеристики обнаружения определяются через интеграл вероятности гамма-распределения (неполную гамма-функцию) $\gamma(\alpha, x) = \int_0^x t^{\alpha-1} \exp(-t) dt$. Пользуясь тем, что $\alpha = N$ – целое, можно записать вероятность превышения порога в виде

$$D_0 = P_1(u_0 \geq c_0) = \exp(-c \cdot N / \beta_0 (1 + d)) \sum_{k=0}^{N-1} (c \cdot N)^k / [\beta_0^k (1 + d)^k k!].$$

Здесь константа $c_0 = cN / \beta_0 (1 + d)$ – есть процентная точка стандартного гамма-распределения $G(N, 1)$. Порог обнаружения $c = c_0 \beta_0 / N$ находится при $d = 0$, и он зависит от интенсивности шума β_0 и числа выборок N .

Характеристики обнаружения для постоянного порога вычислены для значения $\beta_0 = 1$, $N = 9$, и приведены на рис. 2 (пунктирная линия). В частном случае $N = 1$ имеем выражения из [1]:

$$F_0 = \exp(-c / \beta_0), D_0 = \exp(-c / [\beta_0 (1 + d)]).$$

IV. АНАЛИЗ ХАРАКТЕРИСТИК ОБНАРУЖЕНИЯ ДЛЯ АДАПТИВНОГО ПОРОГА

Статистика $z(u, v) = u(y) - c_1 v(x)$, где $u(x) = \sum_{k=1}^N y_i / N$, $v(x) = \sum_{k=1}^M x_i / M$, представляет разность двух гамма-распределений $z_1 \sim G(N, \beta_1 / N)$ и $z_2 \sim G(M, c_1 \beta_0 / M)$ с разными степенями свободы. Логарифм характеристической функции такой разности равен

$$\ln \Psi_z(jt) = -N \ln(1 - jt\beta_1 / N) - M \ln(1 + jtc_1\beta_0 / M).$$

Это выражение позволяет вычислить все кумулянты решающей статистики, что дает возможность использовать различные аппроксимации для неизвестной плотности вероятности $f(z)$, и, следовательно, для вероятности превышения порога. Пороговая константа c_1 определяет вероятность ложной тревоги. Ее вычисление представляет одну из поставленных задач.

Первые два кумулянта распределения статистики получаются в виде $\kappa_1 = \beta_1 - c_1\beta_0$, $\kappa_2 = \beta_1^2 / N + (c_1\beta_0)^2 / M$. В рамках гауссовской аппроксимации имеем выражение для вероятности ложной тревоги $F_G = 1 - \Phi(-\kappa_1 / \sqrt{\kappa_2})$, которое в принципе позволяет вычислить пороговую константу и рассчитать характеристики обнаружения. Однако существует более точное приближение для указанной вероятности, связанное с введением так называемой «подвешенной переменной» (в англ. литературе «titled variable» [3]).

Рассмотрим сопряженное семейство $p(z, \lambda)$ с параметром $\lambda > 0$, такое, что $p(z, \lambda) = \exp(\lambda z) f(z) / \Psi(\lambda)$. Здесь $\lambda > 0$ – некоторая «подвешенная» вещественная переменная, изменение которой деформирует плотность вероятности $f(z)$ в область больших (или меньших) значений, чтобы обеспечить более точное вычисление вероятностей. Тогда вероятность превышения некоторого порога z_T равна

$$P(z \geq z_T) = \int_{z_T}^{\infty} f(z) dz = \Psi(\lambda) \int_{z_T}^{\infty} \exp(-\lambda z) p(z, \lambda) dz.$$

Для сопряженной плотности $p(z, \lambda)$ используются аппроксимации или граничные выражения. Смысл ее применения состоит в том, что выбором параметра λ плотность деформируется и ее математическое ожидание смещается в сторону порога. Аппроксимация сопряженной плотности $p(z, \lambda)$ в окрестности ее вершины оказывается более удачной, чем аппроксимация плотности $f(z)$ в области ее «хвостов». В частности, сопряженную плотность в окрестности ее математического ожидания

можно аппроксимировать гауссовской $p_a(z, \lambda) \sim N(m_\lambda, \sigma_\lambda^2)$ с параметрами m_λ и σ_λ^2 .

Удобнее перейти от характеристических функций к производящим функциям моментов. Для искомой плотности $\Psi(v) = \exp(\mu(v))$. Поскольку производящая функция моментов для сопряженной плотности равна $\varphi(v, \lambda) = \Psi(\lambda + v) / \Psi(\lambda)$, то математическое ожидание и дисперсию последней можно вычислить по формулам:

$$m_\lambda = (d \ln \varphi(v, \lambda) / dv)_{v=0} = d \ln \Psi(\lambda) / d\lambda = \mu'(\lambda),$$

$$\sigma_\lambda^2 = d^2 \ln \Psi(\lambda) / d\lambda^2 = \mu''(\lambda).$$

Подставляя выражение $p_a(u, \lambda) \sim N(m_\lambda, \sigma_\lambda^2)$ для гауссовской плотности вместо $p(u, \lambda)$, получаем выражение для расчета вероятности превышения порога в виде

$$P(z \geq z_T) = \Psi(\lambda) \cdot [1 - \Phi(\sigma_\lambda \lambda + c_{1T} - m_\lambda)] \times \exp(-m_\lambda \lambda + \sigma_\lambda^2 \lambda^2 / 2),$$

где значение λ определяет параметры аппроксимации m_λ и σ_λ .

Параметр λ можно выбрать из условия наилучшей аппроксимации в области порогового значения z_T , т. е. так, чтобы математическое ожидание m_λ сопряженной плотности $p(z, \lambda)$ совпало с порогом z_T . Для этого надо решить уравнение $z_T = m_\lambda = \mu'(\lambda)$ относительно λ , найти решение λ_a , и выбрать $\sigma_a^2 = \mu''(\lambda_a)$. Тогда окончательно получаем расчетное выражение

$$P(z \geq z_T) = [1 - \Phi(\sigma_a \lambda_a)] \cdot \exp[\mu(\lambda_a) - z_T \lambda_a + \sigma_a^2 \lambda_a^2 / 2]$$

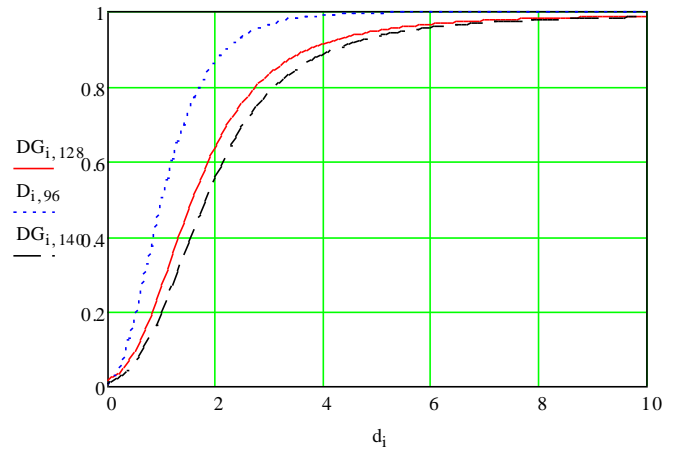


Рис. 2. Характеристики обнаружения алгоритма с адаптивным порогом (сплошная линия) и с постоянным порогом (пунктир), штриховая линия построена при гауссовской аппроксимации

Данный метод использован для вычисления пороговой константы c_1 и расчета характеристик обнаружения. На рис. 2 представлен график характеристики обнаружения для $N = 9$, $M = 16$.

V. ЗАКЛЮЧЕНИЕ

Предложен алгоритм обнаружения малоразмерных объектов на изображениях, содержащих нестационарный фон. Алгоритм включает организацию движущихся сигнального и помехового окон и формирование адаптивного порога по выборкам помехового окна. Реализован приближенный метод расчета пороговой константы алгоритма для экспоненциальной статистики

выборок и характеристик обнаружения, использующий «подвешенную» переменную.

СПИСОК ЛИТЕРАТУРЫ

- [1] Волков В.Ю. Адаптивные и инвариантные алгоритмы обнаружения объектов на изображениях и их моделирование в Matlab: Учебное пособие. СПб. 2-е изд. Изд-во «Лань», 2014. 191 с.
- [2] Sezgin M., Sankur B. Survey over image thresholding techniques and quantitative performance evaluation // Journal of Electronic Imaging. 2004. V. 13(1), P. 146–165.
- [3] Ван Трис Г.Л. Теория обнаружения, оценок и модуляции. Т.1. Пер. с англ. М: Советское радио, 1972. 744 с.